

## Supplementary materials

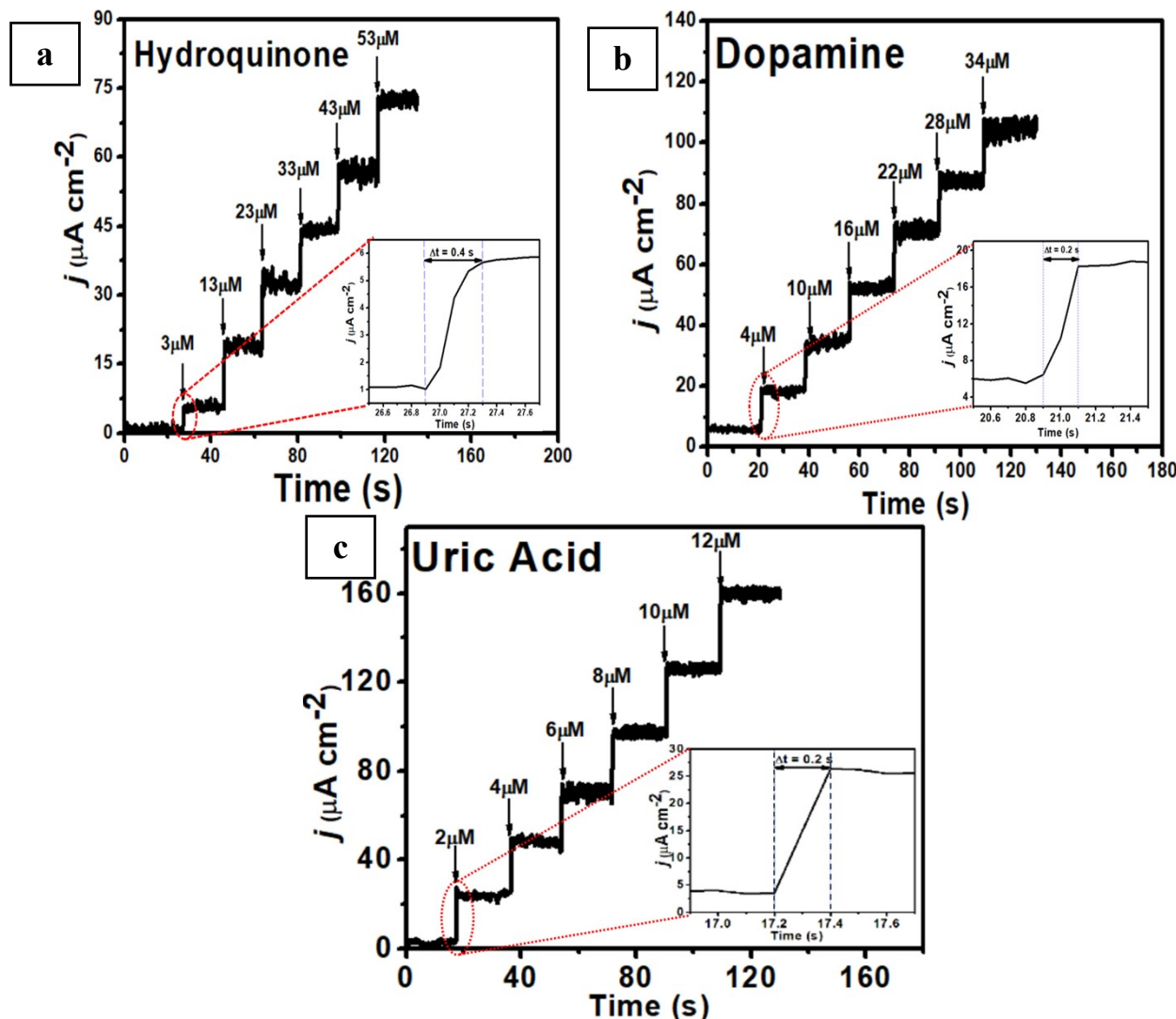


Figure S1. The response time of RGO/MWCNT (1:1)-modified GCE after the injection of (a) hydroquinone, (b) dopamine, and (c) uric acid at the optimized potential using chronoamperometric methods.

Table S1 Percentage of recovery obtained from 6 different human urine samples

Sample	Spiked			Found			%Recovery		
	HQ	DA	UA	HQ	DA	UA	HQ	DA	UA
Urine 1	5	3	1	4.8±0.1	2.9±0.02	1.0±0.06	96±1.5	95±0.6	99±2.7
	10	6	2	9.6±0.2	5.7±0.1	2.0±0.1	96±2.2	95±1.0	101±2.5
	15	9	3	15.2±0.3	9.0±0.04	3.0±0.06	101±1.8	100±0.4	99±2.0
	20	12	4	20.0±0.1	11.5±0.2	3.8±0.1	100±0.7	96±1.3	96±2.8
	25	15	5	25.3±0.4	14.9±0.1	4.8±0.06	101±1.9	99±0.4	95±1.2
Urine 2	5	3	1	5.1±0.06	2.9±0.1	1.0±0.1	101±1.2	96±2.2	103±1.1
	10	6	2	10.4±0.04	5.8±0.1	2.0±0.2	104±0.5	96±2.0	100±2.6
	15	9	3	15.8±0.3	9.1±0.2	2.9±0.1	105±1.7	101±2.5	97±2.0
	20	12	4	20.8±0.1	11.6±0.2	3.8±0.02	104±0.7	97±1.5	95±0.7
	25	15	5	26.0±0.2	14.9±0.4	4.8±0.06	104±0.7	99±2.8	95±1.2
Urine 3	5	3	1	5.1±0.06	2.9±0.08	1.0±0.02	101±1.3	96±2.7	103±2.3
	10	6	2	10.4±0.04	5.8±0.05	2.1±0.01	104±0.3	96±0.9	103±0.1
	15	9	3	15.8±0.1	8.8±0.03	2.9±0.01	105±0.8	98±0.4	98±0.2
	20	12	4	20.6±0.6	11.6±0.06	3.8±0.03	103±2.8	97±0.5	96±0.8
	25	15	5	26.0±0.08	14.4±0.2	4.8±0.04	104±0.3	96±1.6	96±0.9
Urine 4	5	3	1	4.9±0.2	3.1±0.02	1.0±0.05	98±2.5	102±0.7	98±2.7
	10	6	2	10.3±0.04	6.1±0.04	2.0±0.01	103±0.5	101±0.7	98±0.5
	15	9	3	15.5±0.2	9.1±0.03	3.0±0.03	103±1.6	101±0.4	99±0.9
	20	12	4	20.6±0.3	11.5±0.1	3.8±0.1	103±1.6	96±0.8	96±2.3
	25	15	5	24.8±0.4	14.9±0.08	4.8±0.1	99±1.6	99±0.5	95±1.9
Urine 5	5	3	1	5.2±0.08	2.9±0.02	1.0±0.06	104±1.7	98±0.8	100±2.4
	10	6	2	10.2±0.01	6.1±0.04	2.0±0.06	102±0.07	102±0.7	100±1.9
	15	9	3	15.0±0.1	8.9±0.03	2.9±0.03	100±0.8	99±0.4	95±1.0
	20	12	4	20.2±0.08	11.9±0.1	3.8±0.02	101±0.4	99±0.8	96±0.5
	25	15	5	24.5±0.2	15.0±0.08	4.8±0.05	98±0.8	100±0.6	96±1.0
Urine 6	5	3	1	5.1±0.02	2.9±0.04	1.0±0.02	102±0.4	96±1.4	101±1.8
	10	6	2	10.2±0.02	5.9±0.03	2.0±0.03	102±0.2	98±0.5	98±1.7
	15	9	3	15.2±0.1	8.9±0.1	2.9±0.03	101±0.8	99±1.2	95±1.0
	20	12	4	19.6±0.07	11.8±0.1	3.8±0.02	98±0.3	98±0.8	96±0.7
	25	15	5	24.3±0.01	14.7±0.1	4.8±0.03	97±0.06	98±0.7	96±0.7